

京都大学大学院 学生員 細田 尚
 京都大学工学部 正員 岩佐 義朗
 京都大学工学部 正員 綾 史郎

1. はじめに；河川や水路における分散係数を決定するために、トレーサー実験・野外観測が行なわれるが、多くの場合、断面内一点で測定されるため、その断面代表性が問題となる。本研究では、断面内多点測定を行なった実験データにより、濃度一時間曲線の断面内分布特性、断面平均濃度との関係を調べ、さらに、分散域の条件を、断面内濃度偏差との関連により検討した。

2. 使用したデータおよび水理量；解析に使用したデータは、筆者らの実験値(RUN 1, 2)および、Fischer⁽¹⁾の実験値Series 3400(RUN 3)である。主な水理量を表-1に示す。いずれも直線の実験水路におけるものであり、流れは等流である。トレーサーとしては、すべて食塩水が用いられており、水路上流部において瞬間面源として投入され、下流各断面で、同時多点測定を行なった。

3. データの対応領域；時間の無次元化には、Lagrange的時間スケールとEuler的時間スケールの二つが、通常、用いられるが、本研究では、断面内混合の時間スケールを表わすと考えられるEuler的時間スケールで無次元化した。その際、水深方向・水路幅方向の二つが考えられ、それぞれ $T_{EY} = h^2 / \bar{E}_y$, $T_{EZ} = (B/2)^2 / \bar{E}_z$ と表わせると、水路幅方向の濃度偏差が大きいとして、 T_{EZ} を用いた。ここに、 h ：水深、 B ：水路幅、 \bar{E}_y , \bar{E}_z ：水深、水路幅方向の平均的な乱流拡散係数。

無次元時間 $t' = t / T_{EZ}$ の範囲を表-2に示す。ここに、 \bar{E}_z は分散雲の平均到達時間であり、 $\bar{E}_z = 0.2 h / \bar{E}_y$ として計算している。

分散域の定義には、二、三考えられているが、ここでは、断面平均濃度一時間曲線の分散 σ_t^2 が線形となる領域とすると、図-3より、RUN 1 は分散域以前、RUN 2 は投入より分散域初期、RUN 3 は分散域にあるものと考えられる。

4. 測定値の断面代表性について；の断面内の濃度分布を各断面における各測点の濃度一時間曲線として、図-1(a), (b) に示す。これらより、断面中央値は、断面内の最大濃度を示すことが多く、ピーク通過後、最小濃度を示すことがわかる。

②各測点における平均到達時間 $\bar{t} = \int_0^\infty ct dt / \int_0^\infty C dt$ (1) を図-2に示す。 \bar{t} は断面内の位置によって異なるが、 $\bar{t}-x$ の関係は線形といってよく、その勾配はほぼ同じであり、断面平均流速で伝播しているとみてよい。

③各測点における濃度一時間曲線より得られた分散値 $\sigma_t^2 = \int_0^\infty (C - \bar{C})^2 dt / \int_0^\infty C dt$ (2) と距離の関係を図-3に示す。これによると、水路側壁へ近づくほど大きい分散値をとる傾向がみられ、それぞれの測点の分散 σ_t^2 の成長率は、小さい無次元

	RUN 1	RUN 2	RUN 3 *
Discharge (cm ³ /s)	1531	562	
Width (cm)	25.0	10.0	19.1-23.3
Depth (cm)	2.00	2.05	2.10
Mean velocity (cm/s)	30.60	27.44	46.1
Shear velocity (cm)	1.84	1.69	3.88
Froude No.	0.69	0.61	1.02
Reynolds No.	5200	4700	7800

表-1 水理量

	t'
RUN 1	0.017 — 0.112
RUN 2	0.035 — 0.728
RUN 3	0.695 — 1.392

表-2 無次元時間の範囲

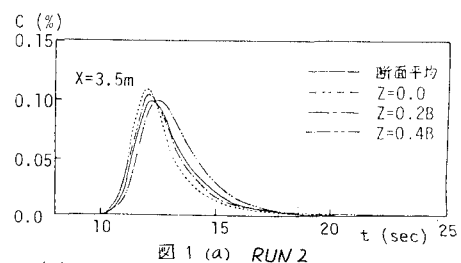


図 1 (a) RUN 2

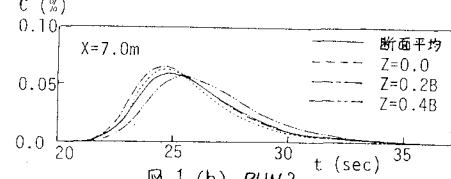


図 1 (b) RUN 2

時間 $t' = (x/\bar{C})/\bar{T}_{Ez}$ において、かたり相違しているが、 t' の増加とともに、ほぼ同一となる。

5. 断面内濃度偏差について；① Sayre⁽²⁾は分散域の条件を、断面内混合の程度と結びつけ、分散域ではほぼ $|C - \bar{C}|_{max}/\bar{C} < 0.1$ としたが、ここでは、断面内濃度偏差の代表量として、 C の最大値と最小値の差をとり、次式で定義される相対偏差をとった。

$$\alpha = \frac{C_{max} - C_{min}}{\bar{C}} \quad (3)$$

ここに \bar{C} ; 断面平均濃度。

\bar{C} のピーカ濃度生起

時刻における α 値を

無次元時間 $\tau = (x/u)/\bar{T}_{Ez}$ に対しても示した（図-4）。これによる

と α 値は分散域以前に急激に減少し、分散域では、0.16 程度に落ちつく。

さらに、 α 値を ($t - t'$) について示した

のが図-5である。 α の波形は、

濃度波形の前縁部で大きく、ピーカ濃度付近で最小値を示し、その後上昇して一定値となり、後端部でまた上昇する。また、流下が進むにつれて、 α の値は全体的に小さくなる。

② Fischer は、分散域の条件として、 $\partial C'/\partial z \ll \partial \bar{C}/\partial z$ が必要としたが、 $\partial \alpha/\partial z$

を調べるのは困難であり、代わりに

$\partial \alpha/\partial t$ を図-6 に示す。ここに、 C' ; 断面平均

濃度よりの偏差。分散域では、 $\partial C'/\partial t = \partial \bar{C}/\partial t$ の数分の一となり、断面内混合の進行を示す。

6. おわりに；本研究では横方向二次元として取り扱ったが、三次元性の尺度として、水深方向と水路幅方向の Euler 的時間スケールの比が考えられ、 $\bar{T}_{Ez}/\bar{T}_{Ey} = \frac{1}{12}(\frac{B}{L})^2$ となる。ただし、 $\bar{E}_y = \frac{K}{6}hu_* = \frac{hu_*}{15}$ とし得る。

このように $\bar{T}_{Ez}/\bar{T}_{Ey}$ は Aspect 比の関数となり、

様々の初期・境界条件における横方向二次元解析の妥当性が問題となる。

参考文献 (1) Fischer, H. B.; Report No. KH-R-12, CIT, 1966.

(2) Sayre, W. W.; U.S.G.S. 433-4, 1968.

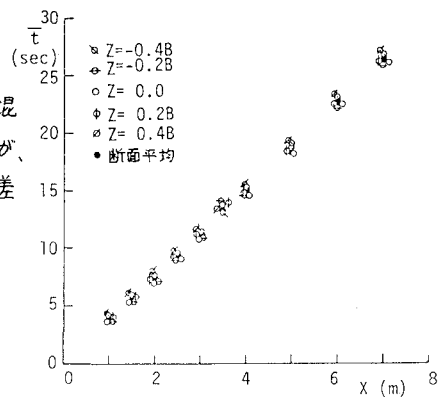


図-2 RUN 2

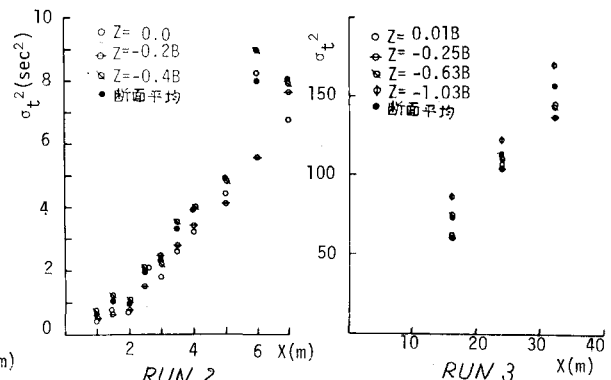


図-3

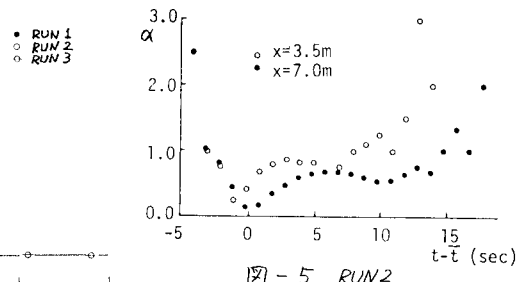


図-4

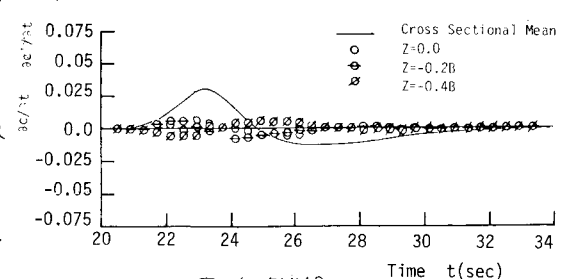


図-6 RUN 2